

GMG 5852 - Petrologia das Rochas Metamórficas

Metamorfismo de Rochas Carbonáticas Silicosas (Mármore Silicoso) e Calciosilicáticas

1

Rochas carbonáticas: calcários, dolomitos – componentes importantes do registro sedimentar (plataforma continental).
 Equivalentes metamórficos: **mármore calcítico**, **mármore dolomítico**.

Se não houver componentes adicionais a CaO, MgO, CO₂; ocorre apenas recristalização (com ou sem deformação) com o aumento do grau metamórfico - texturas granoblásticas, estrutura maciça: mármores “puros” (e.g. mármores de Carrara).

2



3



4



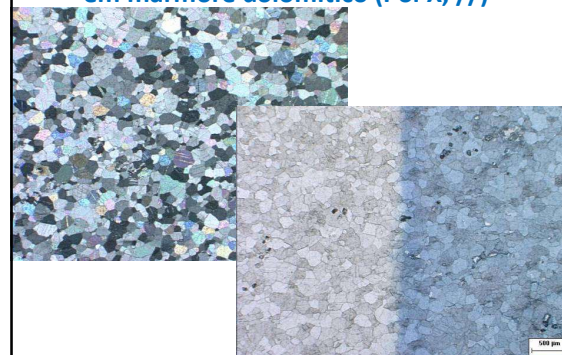
5



6

Mármore com estrutura estratificada (metadolomito)

7

Textura granoblástica poligonizada em mármore dolomítico (Pol X, //)

8

Calcários e dolomitos “impuros”: silicosos e/ou argilosos, ou mesmo ferruginosos.

- **Silicosos:** SiO₂ proveniente de quartzo detritico ou de níveis de *chert*.
- **Argilosos:** + Al₂O₃, K₂O - proporções variáveis de argila (e.g. margas).
- **Rochas calciosilicáticas s.l. (*marls* = margas):** misturas de componentes silicáticos (arenitos, arcossios, *wackes* = grauvacas, lamitos) e carbonáticos (calcários e/ou dolomitos), estes em menor proporção;

9

Rochas calciosilicáticas: composição mineralógica variada – epidoto, diopsídio, wollastonita, escapolita, vesuvianita, grossularia, Ca-anfibólio, flogopita, clorita, etc;

Skarn, ou escarnito: rocha calciosilicática formada por metassomatismo atuante sobre rochas carbonáticas, através de fluídos silicosos, no contato com camadas sedimentares contíguas ou pela ação de intrusões graníticas. Hospedam importantes depósitos minerais (W,Sn,Pb-Zn,Cu,Fe,Mo,Au).

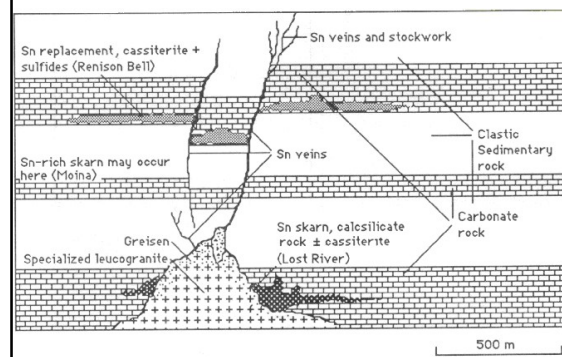
10

Metassomatismo de contato, ou pirometassomatismo: formação de **escarnitos (skarns)** – rochas cálcio-silicáticas metassomáticas

- Contato de rocha intrusiva (geralmente granitos s.l.) com encaixante carbonática (dolomitos, calcários)
- Mineralogia exótica: granada, wollastonita, piroxênios (Di, Hed), sulfetos, sulfossais, magnetita, cassiterita, vesuvianita, allanita, etc
- Principais minérios: **Fe, Cu, W, Zn, Pb, Mo, Sn, U, Au**, grafita, granada e wollastonita

11

Escarnito mineralizado em Sn: modelo



12

Rochas carbonáticas silicosas: caso mais simples, com predomínio do componente carbonático e contribuição variável de SiO_2

Sistema fundamental:



Origem da sílica: sedimentar (quartzo detritico, chert, esteiras algais), ou trazido dissolvido na fase fluída (metassomatismo)

13



14



15

Fatores envolvidos no metamorfismo de rochas carbonáticas silicosas

- Proporção (modal) dos minerais e (molar) dos componentes do protólio (relações entre calcita-Cal, dolomita-Do e quartzo-Qtz)
- Características da fase fluída: $X_{\text{CO}_2}/X_{\text{H}_2\text{O}}$, temperatura, salinidade, pH, etc;
- Razões fluído-rocha, fonte do fluido, porosidade da rocha e tempo de residência do fluido na rocha.

16

Possíveis fontes para os fluídos

- Metamórficos:** reações de desidratação / descarbonatação da pilha metamórfica: fluxo +/- contínuo, T inicial em equilíbrio com as rochas;
- Igneos:** de corpos intrusivos no pacote sedimentar, alta T inicial, injetados em volume finito;
- Meteóricos ou infiltrados:** provenientes de níveis superiores, mobilizados pelo calor de intrusões ou pelo gradiente geotérmico;
- Provenientes de zonas de cisalhamento:** alta T inicial, bombeados em grande volume (alta razão fluido/rocha) nas descontinuidades tectônicas (*tectonic plumbing*).

17

Fase fluída: duas situações extremas

- Composição externamente controlada** (grande volume de fluido, altas razões fluido / rocha, baixo tempo de permanência no sistema) – as reações metamórficas não afetam significativamente sua composição;
- Composição tamponada pelas reações metamórficas** (fase fluída em volume restrito, alto tempo de residência no sistema – sistema “fechado”) – a progressão das reações metamórficas altera sensivelmente a composição da fase fluida.

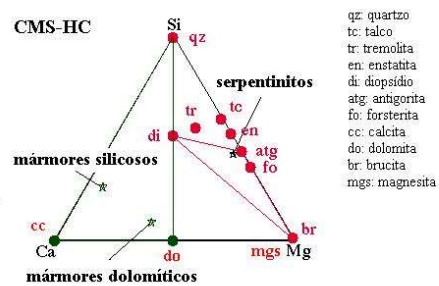
18

Principais minerais das paragêneses metamórficas no sistema CMS (HC) em sequência aproximada de aparecimento

- calcita (Cal) CaCO_3
- dolomita (Do) $\text{CaMg}(\text{CO}_3)_2$
- quartzo (Qtz) SiO_2
- talco (Tlc) $\text{Mg}_3\text{Si}_4\text{O}_{10}(\text{OH})_2$
- tremolita (Tr) $\text{Ca}_2\text{Mg}_5\text{Si}_8\text{O}_{22}(\text{OH},\text{F},\text{Cl})_2$
- diopsídio (Di) $\text{CaMgSi}_2\text{O}_6$
- forsterita (Fo) Mg_2SiO_4
- wollastonita (Wo) CaSiO_3 (altas T°)
- periclásio (Per) MgO (met. contato)

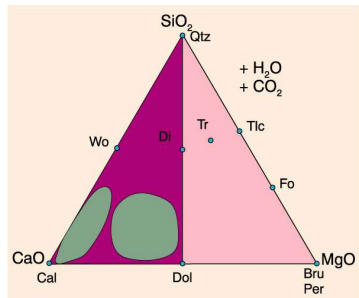
19

Diagrama CMS-HC com os principais minerais e campos das rochas ultramárficas e carbonáticas silicosas



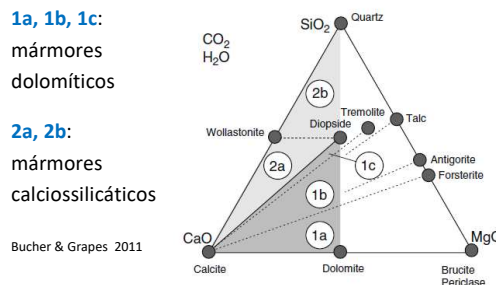
20

Diagrama CMS: os principais minerais e os campos das rochas carbonáticas silicosas dolomíticas e calcíticas



21

Diagrama quimiográfico CMS (+CH)



22

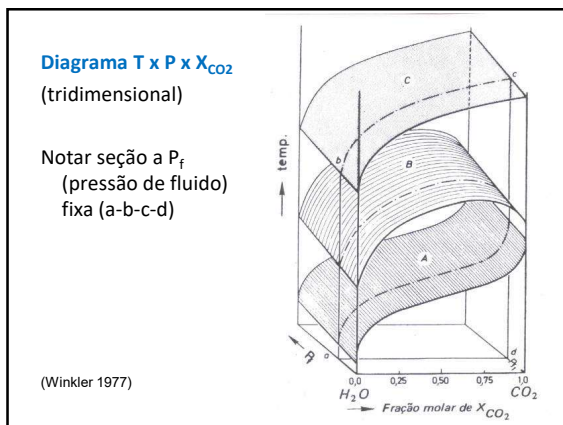
Reações metamórficas: controladas pela fase fluída (X_{CO_2}) – representação do sistema através de 3 componentes: CaO, MgO, SiO_2 (fase fluída em excesso);

Diagrama pseudo-binário $T \times X_{\text{CO}_2}$: campos divariantes (3 fases sólidas), linhas univariantes (4 fases sól.), pontos invariantes (5 fases sól.); O padrão das curvas (= reações, linhas univariantes) depende da atuação dos componentes da fase fluída (H_2O , CO_2): qual é produto, qual reagente, etc.

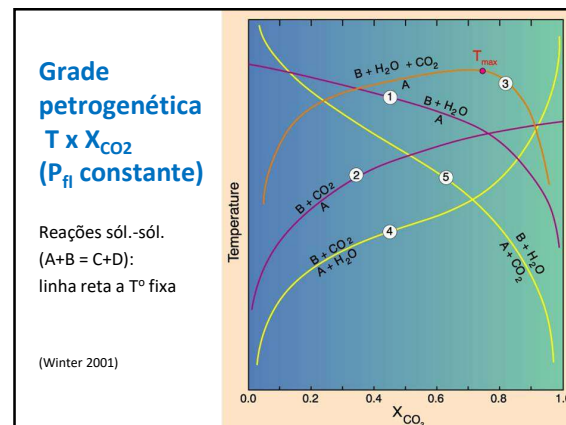
23

- As principais reações**
- 1) $3 \text{Do} + 4 \text{Qtz} (\text{silica}) + \text{H}_2\text{O} = \text{Tlc} + 3 \text{Cal} + 3 \text{CO}_2$
 - 2) $5 \text{Do} + 8 \text{Qtz} + \text{H}_2\text{O} = \text{Tr} + 3 \text{Cal} + 7 \text{CO}_2$
 - 3) $\text{Do} + 2 \text{Qtz} = \text{Di} + 2 \text{CO}_2$
 - 4) $2 \text{Tlc} + 3 \text{Cal} = \text{Tr} + \text{Do} + \text{CO}_2 + \text{H}_2\text{O}$
 - 5) $\text{Tr} + 3 \text{Cal} = 4 \text{Di} + \text{Do} + \text{CO}_2 + \text{H}_2\text{O}$
 - 6) $\text{Tr} + 11 \text{Do} = 8 \text{Fo} + 13 \text{Cal} + 9 \text{CO}_2 + \text{H}_2\text{O}$
 - 7) $3 \text{Tr} + 5 \text{Cal} = 11 \text{Di} + 2 \text{Fo} + 5 \text{CO}_2 + 3 \text{H}_2\text{O}$
 - 8) $107 \text{Do} + 17 \text{Tr} + 107 \text{H}_2\text{O} = 141 \text{Cal} + 4\text{Atg} + 73 \text{CO}_2$
 - 9) $\text{Di} + 3 \text{Do} = 2 \text{Fo} + 4 \text{Cal} + 2 \text{CO}_2$
 - 10) $20 \text{Do} + \text{Atg} = 20 \text{Cal} + 34 \text{Fo} + 20 \text{CO}_2 + 31 \text{H}_2\text{O}$
 - 11) $\text{Do} = \text{Cal} + \text{Per} + \text{CO}_2$
 - 12) $\text{Do} + \text{H}_2\text{O} = \text{Cal} + \text{Brc} + \text{CO}_2$
 - 13) $\text{Brc} = \text{Per} + \text{H}_2\text{O}$
 - 14) $5 \text{Tlc} + 6 \text{Cal} + 4 \text{Qtz} = 3 \text{Tr} + 6 \text{CO}_2 + 2 \text{H}_2\text{O}$
 - 15) $\text{Tr} + 3 \text{Cal} + 2 \text{Qtz} = 5 \text{Di} + 3 \text{CO}_2 + \text{H}_2\text{O}$
 - 16) $\text{Cal} + \text{Qtz} = \text{Wo} + \text{CO}_2$

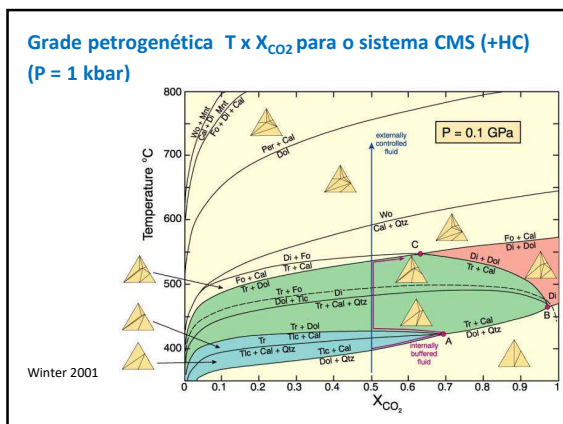
24



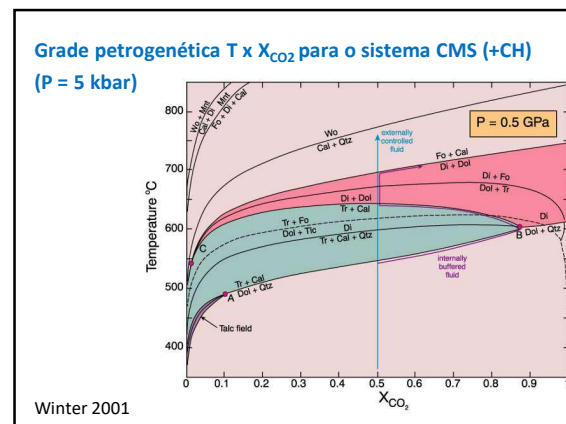
25



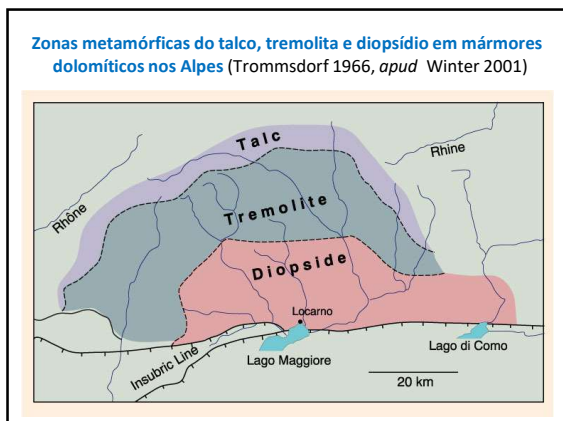
26



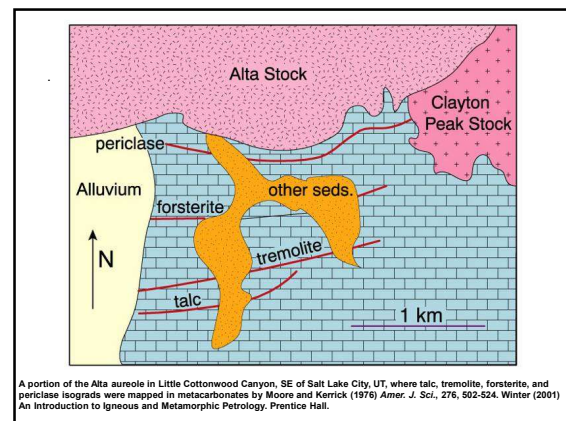
27



28

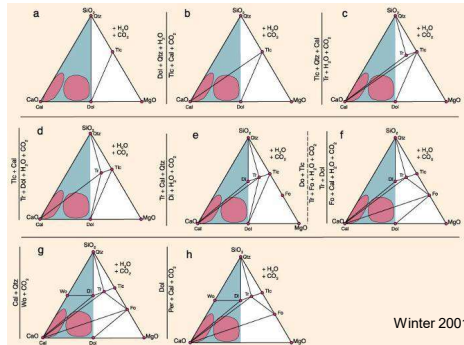


29



30

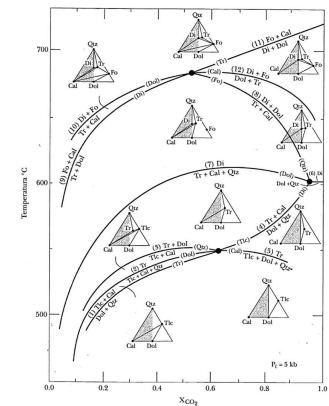
Quimiografia das paragêneses possíveis para o sistema CMS (+CH)



Winter 2001

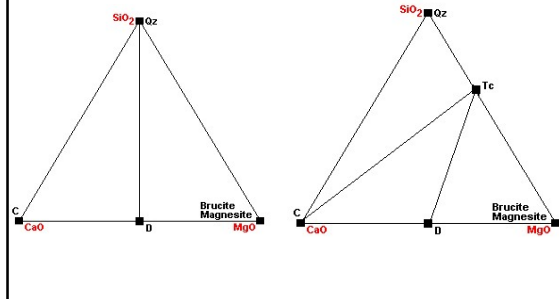
31

Grade petrogenética
T x X_{CO_2} e os diagramas CMS de compatibilidade (ou quimiográficos) para os campos divariantes (3 fases sólidas em equilíbrio).



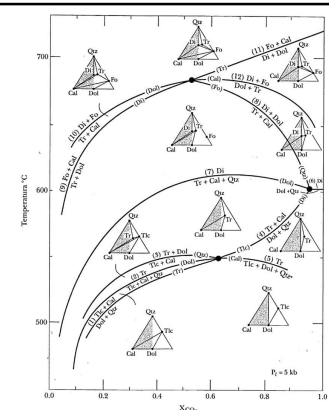
32

Diagrama de compatibilidade CMS (+HC)
reação (1) 3Do + 4Qtz (ou sílica) + H₂O = Tlc + 3Cal + 3CO₂



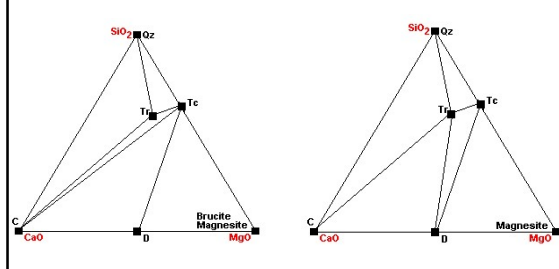
33

Grade petrogenética
T x X_{CO_2} e os diagramas CMS de compatibilidade (ou quimiográficos) para os campos divariantes (3 fases sólidas em equilíbrio).



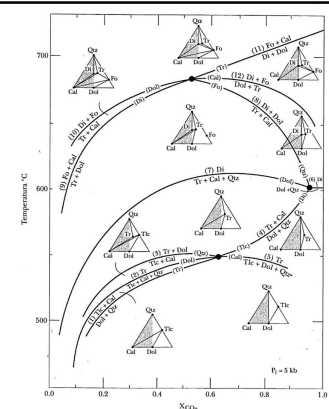
34

Diagrama de compatibilidade CMS (+HC)
reação (2) 5Tlc + 6Cal + 4Qtz = 3Tr + 6CO₂ + 2H₂O e
reação (3) 2Tlc + 3Cal = Tr + Do + CO₂ + H₂O



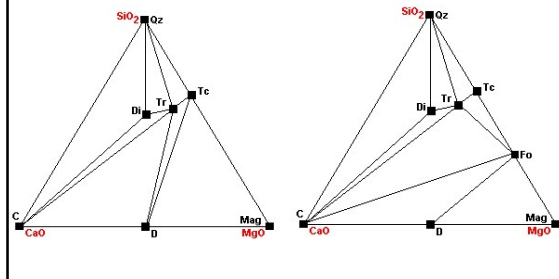
35

Grade petrogenética
T x X_{CO_2} e os diagramas CMS de compatibilidade (ou quimiográficos) para os campos divariantes (3 fases sólidas em equilíbrio).



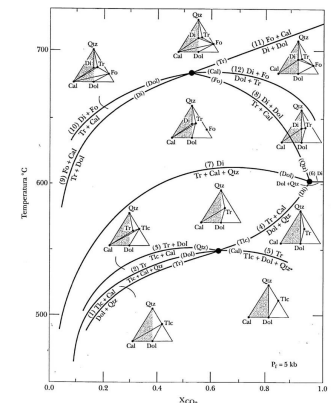
36

Diagrama de compatibilidade CMS (+HC)
reação (7) $\text{Tr} + 3 \text{ Cal} + 2 \text{ Qtz} = 5 \text{ Di} + 3 \text{ CO}_2 + \text{H}_2\text{O}$ e
reação (9) $\text{Tr} + 11 \text{ Do} = 8 \text{ Fo} + 13 \text{ Cal} + 9 \text{ CO}_2 + \text{H}_2\text{O}$



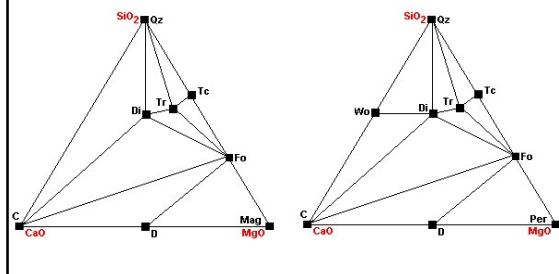
37

Grade petrogenética
 $T \times X_{\text{CO}_2}$ e os
diagramas CMS
de compatibilidade
(ou quimiográficos)
para os campos
divariantes (3 fases
sólidas em
equilíbrio).



38

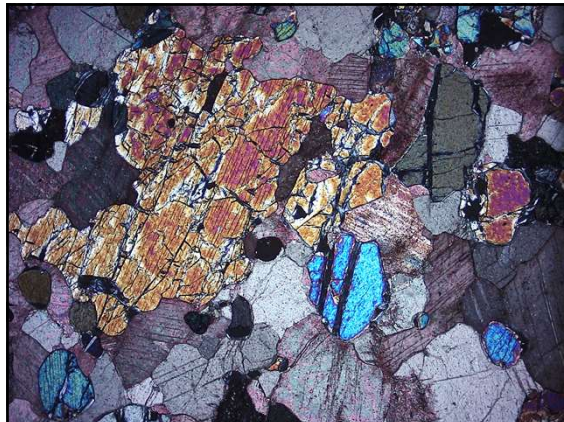
Diagrama de compatibilidade CMS (+HC)
reação (10) $3 \text{ Tr} + 5 \text{ Cal} = 11 \text{ Di} + 2 \text{ Fo} + 5 \text{ CO}_2 + 3 \text{ H}_2\text{O}$ e
reação (17) $\text{Cal} + \text{Qtz} = \text{Wo} + \text{CO}_2$



39

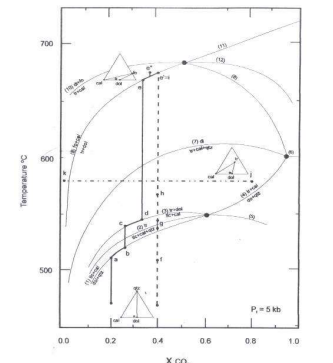


40



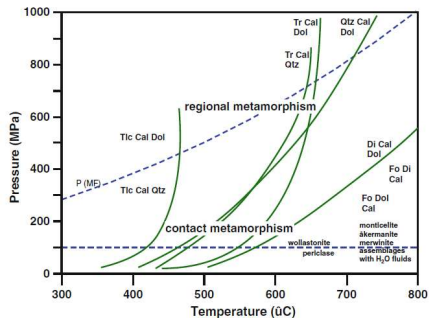
41

Caminhamentos no
campo $T \times X_{\text{CO}_2}$ para
diferentes evoluções
dos fluidos:
- a-e: internamente
tamponado;
- j-k: externamente
controlado – diluição
do fluido interno;
- f-i: composição
constante



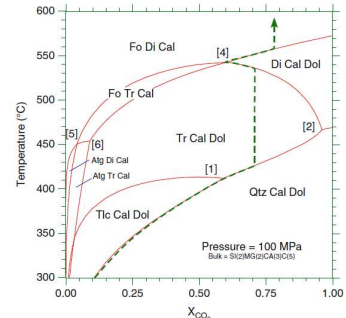
42

Isógradas em dolomitos e calcários silicosos para metamorfismo regional colisional e de contato



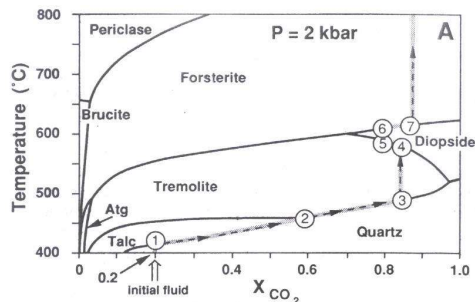
43

Pseudoseção T-X_{CO₂} para dolomito silicoso (2Dol:2Qtz:1Cal) em metamorfismo de contato, com fluido tamponado



44

Exemplo de evolução de um mármore com composição do fluido internamente tamponada: grade petrogenética



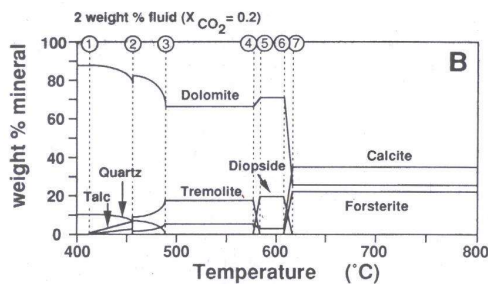
45

Rocha inicial: dolomito silicoso (Do + Qtz)

- 1) $3 \text{ Do} + 4 \text{ Qtz} + \text{H}_2\text{O} = \text{Tlc} + 3 \text{ Cal} + 3 \text{ CO}_2$
(em 2, atinge ponto invariante: permanece até Tlc esgotar)
- 2) $2 \text{ Tlc} + 3 \text{ Cal} = \text{Tr} + \text{Do} + \text{CO}_2 + \text{H}_2\text{O}$
(após Tlc esgotar, segue para 3 sobre curva univariante)
- 3) $5 \text{ Do} + 8 \text{ Qtz} + \text{H}_2\text{O} = \text{Tr} + 3 \text{ Cal} + 7 \text{ CO}_2$
(em 3, Qtz esgota - abandona curva univariante e T aumenta até 4)
- 4) $\text{Tr} + 3 \text{ Cal} = 4 \text{ Di} + \text{Do} + \text{CO}_2 + \text{H}_2\text{O}$
(segue curva univariante até 5, onde Tr esgota - X_{H2O} aumenta - T aumenta até 6)
- 6) $\text{Di} + 3 \text{ Do} = 2 \text{ Fo} + 4 \text{ Cal} + 2 \text{ CO}_2$
(segue curva univariante até 7, onde Di esgota: a rocha final é um Fo-Do-Cal mármore)

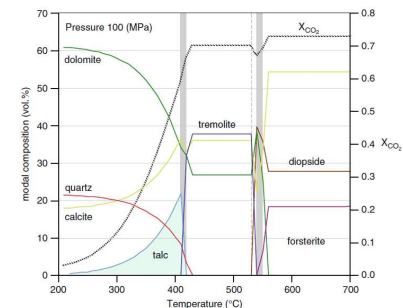
46

Evolução de um mármore com composição do fluido internamente tamponada: variação da composição modal

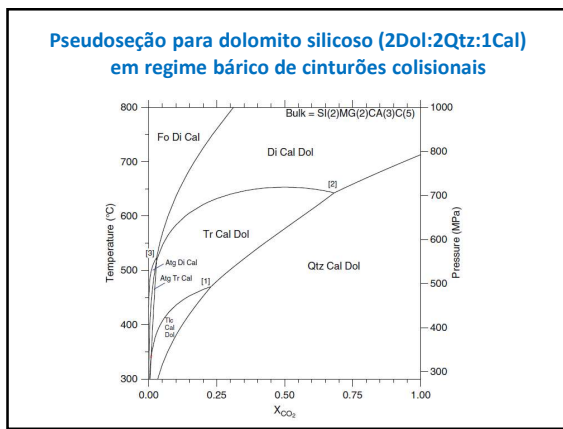


47

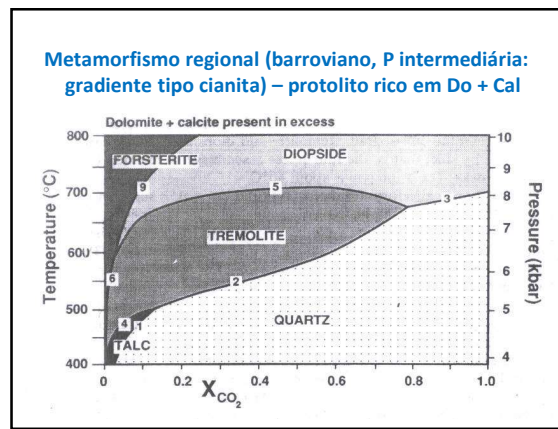
Evolução modal das paragêneses no metamorfismo de contato para o dolomito silicoso anterior (sist.fechado)



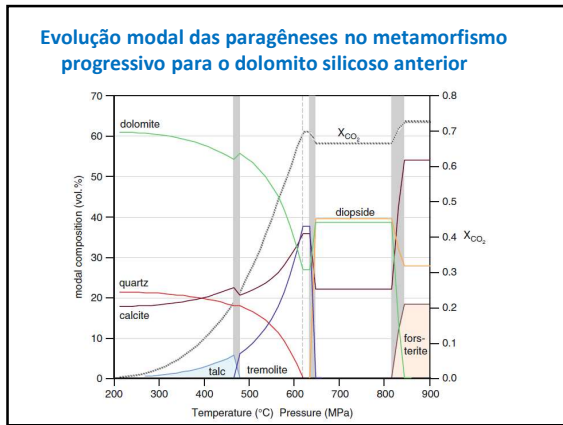
48



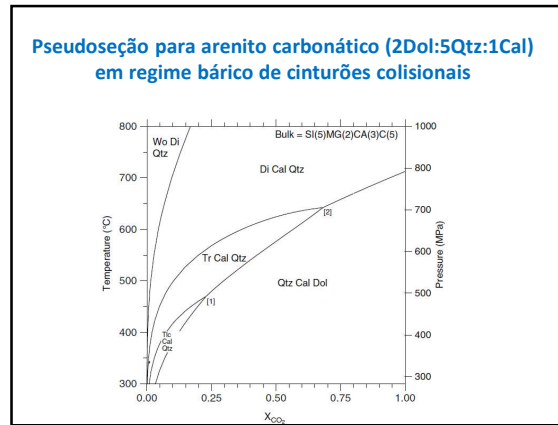
49



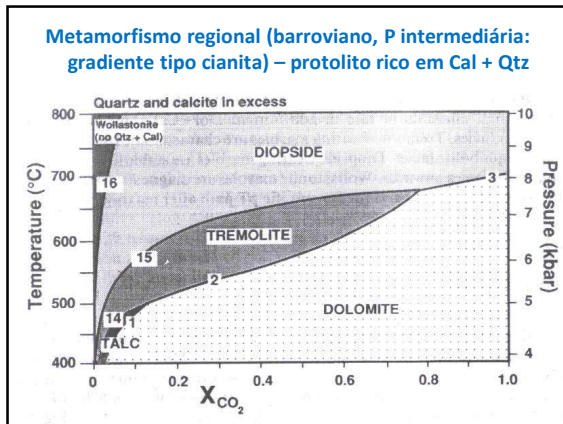
50



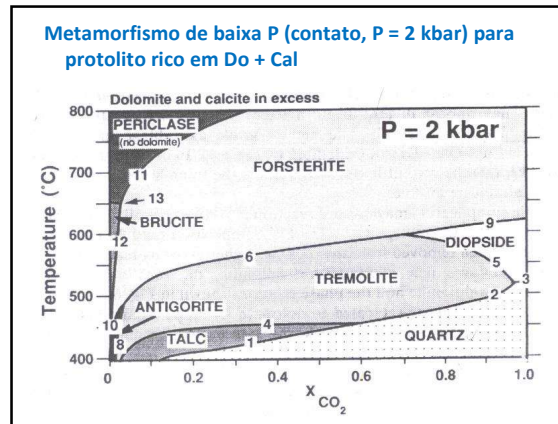
51



52

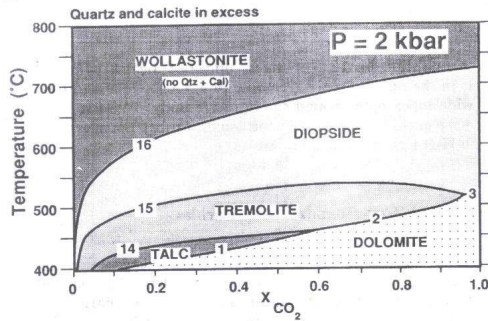


53



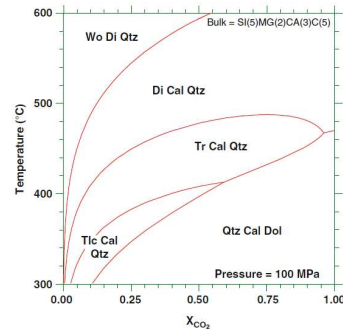
54

Metamorfismo de baixa P (contato, $P = 2$ kbar) para protolito rico em Cal + Qtz



55

Pseudoseção T-X_{CO₂} para arenito carbonático (2Dol:5Qtz:1Cal) em metamorfismo de contato



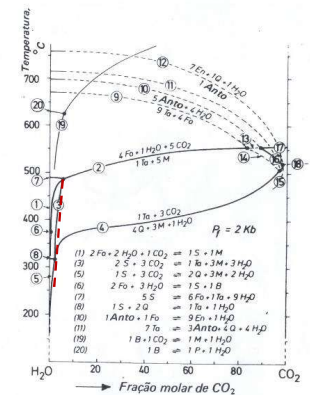
56



57

Campo de estabilidade das serpentinas (= antigorita) no campo T x X_{CO₂}:

Como o sistema está na metade Do – Cal – Qtz, Mgs é substituída por Do.



58

Metassomatismo silicoso por percolação de fluido em zona de cisalhamento e em contato intrusivo com granito: o exemplo do Grupo Itaiacoca (PR)

- **Grupo Itaiacoca:** sequência (vulcano-) sedimentar com predomínio de metadolomitos, às vezes estromatolíticos
- **Contato E:** tectônico, com o Granito Três Córregos e Grupo Águas Claras, através da Z.C. Itapiroapuã; talcificação na Z.C. e em bolsões dentro da faixa carbonática, às vezes com tremolita
- **Contato W:** intrusivo, com o Granito Cunhaporanga; tremolita acompanhando fraturas, com diopsídio e olivina mais próximo ao contato.

59

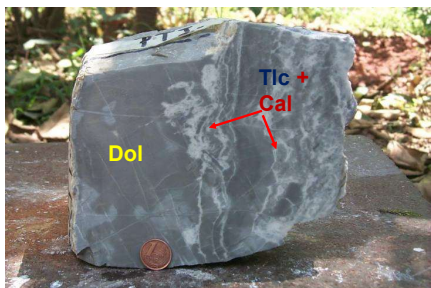
**ANEXO I
MAPA DE PONTOS E GEOLÓGICO SIMPLIFICADO DA FAIXA ITAIACOCA (PR)**

Mapa Geológico do Grupo Itaiacoca (PR/SP)
CPRM 1977, modificado



60

Talcificação por percolação de fluido aquoso portador de sílica em descontinuidades



61

Talcificação ao longo de descontinuidades estruturais: contatos entre camadas do metadolomito



62

Talcificação ao longo do acamamento



63

Estromatólitos talcificados



64

Zona de cisalhamento anastomosada talcificada



65

Z.C. anastomosada talcificada c/calcita transitória

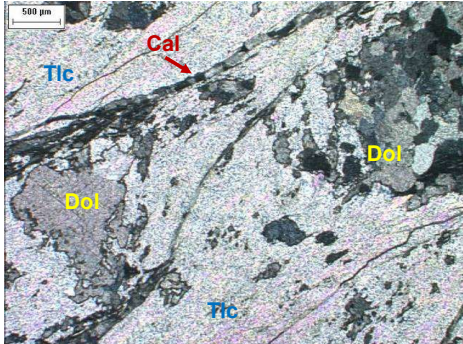


Zona de cisalhamento anastomosada: faixas de maior deformação talcificadas envolvendo núcleos menos deformados de metadolomito



66

Reação $\text{Do} + \text{SiO}_2 \text{ (aq)} + \text{H}_2\text{O} = \text{Tlc} + \text{Cal} + \text{CO}_2$ em zona de cisalhamento (Z.C. Itapirapuã, Grupo Itaiacoca, PR)



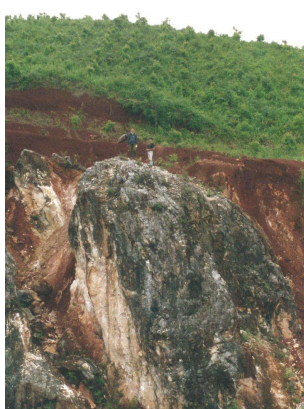
67

Núcleo da zona de cisalhamento – talco xisto



68

“Dólmen” de metadolomito não-talcificado em meio à zona de cisalhamento: núcleos lenticulares em meio às faixas cisalhadas-talcificadas



69

Vênulas zonadas de calcita (centro) e talco (bordas) – caminho de volumes restritos de fluidos reativos, aquosos

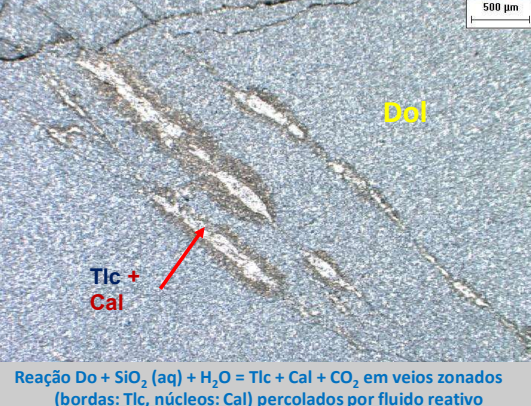


70

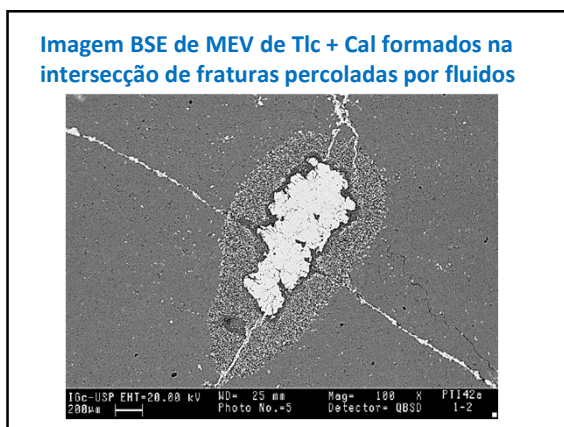
Vênulas Tlc + Cal em fraturas de metadolomito: percolação de fluido aquoso com sílica dissolvida



71



72



73



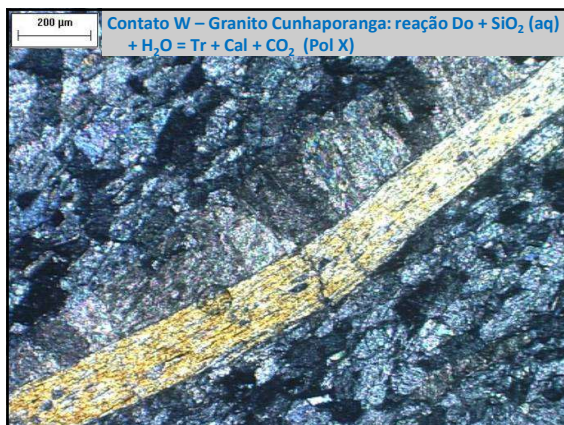
74



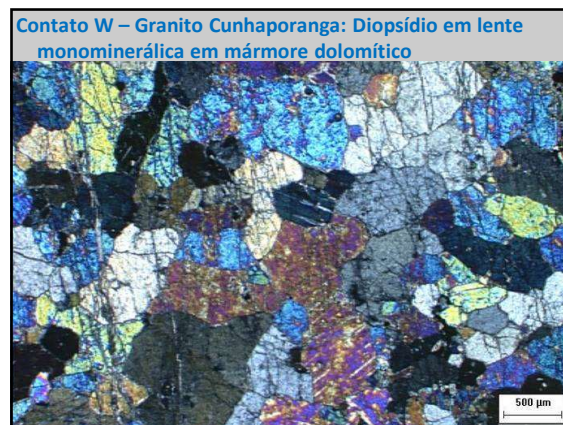
75



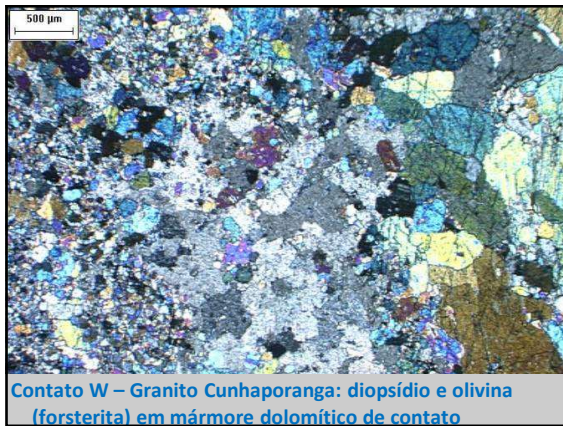
76



77



78

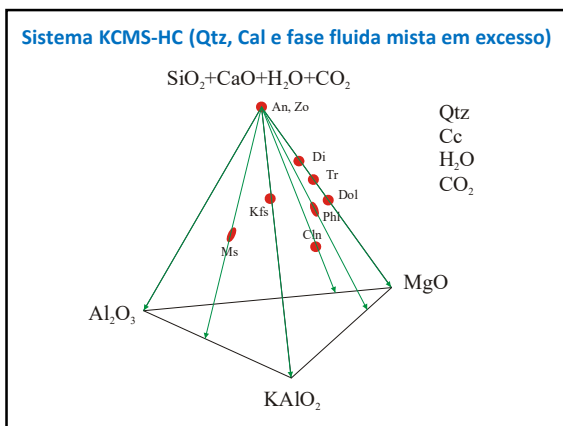


79

ROCHAS CALCIOSILICÁTICAS: maior complexidade composicional – várias possibilidades de mistura entre rochas silicosas a argilosas e carbonáticas;

- **Arenitos “puros” + dolomita** (e.g. como cimento): tremolita quartzitos = sistema **CMS-HC**;
- **Argilitos / folhelhos (arenosos / siltosos ou não) + dolomita e calcita em proporções variadas**: paragêneses diversificadas – tremolita, clorita (clinocloro), diopsídio, epidoto-clinozoisita-zoisita, grossularia, wollastonita, vesuvianita, escapolita, flogopita, muscovita, margarita, anortita, K-feldspato, dolomita, calcita, Mg-hornblenda = sistema **KCMAS-HC** (e subsistemas). Geralmente: quartzo em excesso. Componentes adicionais, não considerados: Ti (titânita, comum), Na, Fe, Cl, etc.

80

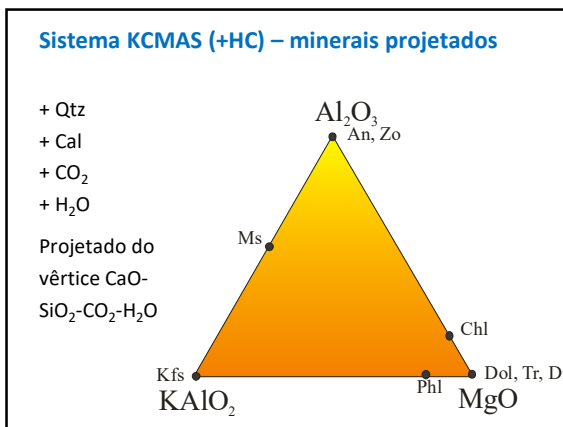


81

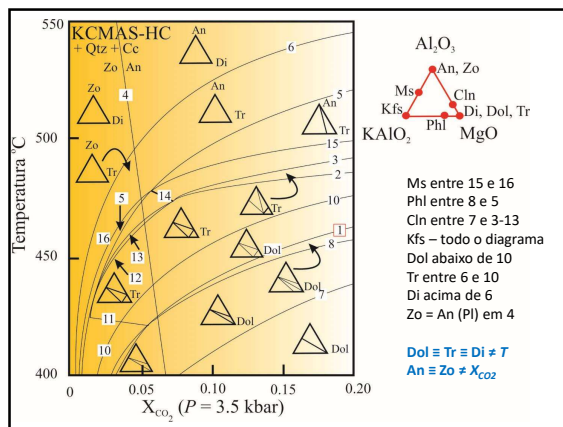
Minerais / fases no sistema KCMAS-HC

- Quartzo - SiO_2
- Calcita - CaCO_3
- Dolomita - $\text{CaMg}(\text{CO}_3)_2$
- Diopsídio - $\text{CaMgSi}_3\text{O}_6$
- Grossularia - $\text{Ca}_3\text{Al}_2\text{Si}_3\text{O}_{12}$
- Tremolita - $\text{Ca}_2\text{Mg}_5\text{Si}_8\text{O}_{22}(\text{OH})_2$
- Anortita - $\text{CaAl}_2\text{Si}_2\text{O}_8$
- Zoisita, Clinozoisita - $\text{Ca}_2\text{Al}_3\text{Si}_3\text{O}_{12}(\text{OH})$
- Clorita - $\text{Mg}_5\text{Al}_2\text{Si}_3\text{O}_{10}(\text{OH})_8$
- Flogopita - $\text{KMg}_3\text{AlSi}_{10}(\text{OH})_2$
- Muscovita - $\text{KAl}_2\text{AlSi}_{10}(\text{OH})_2$
- Ortoclásio - KAlSi_3O_8
- Fluido - $\text{H}_2\text{O} +/- \text{CO}_2$

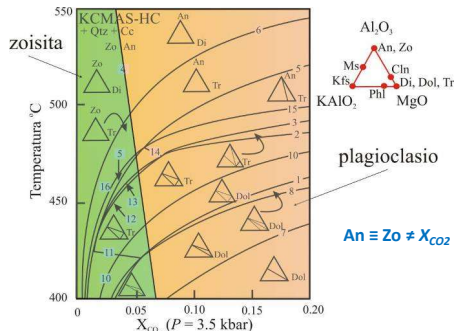
82



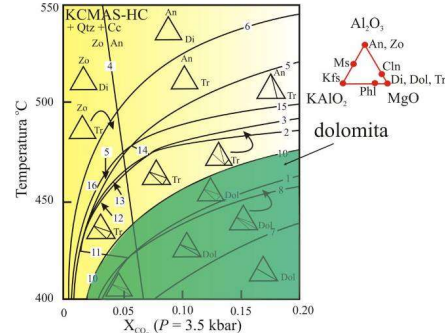
83



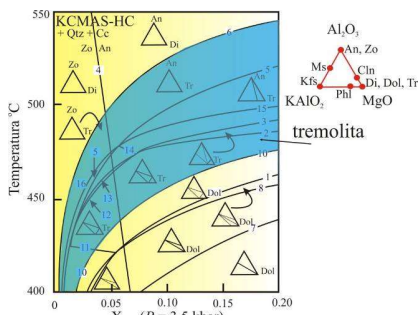
84

Reação 4: $2 \text{Zo} + \text{CO}_2 = 3 \text{An} + \text{Cal} + \text{H}_2\text{O}$ 

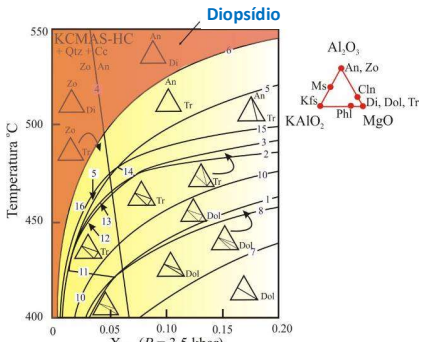
85

Reação 10: $5 \text{Dol} + 8 \text{Qtz} + \text{H}_2\text{O} = \text{Tr} + 3 \text{Cal} + 7 \text{CO}_2$ 

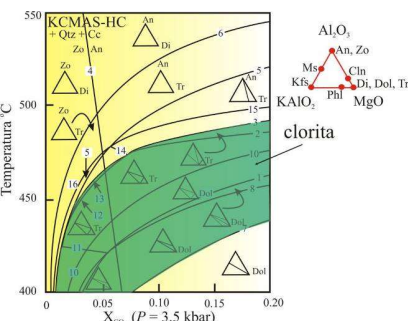
86

Reação 6: $\text{Tr} + 2 \text{Qtz} + 3 \text{Cal} = 5 \text{Di} + \text{H}_2\text{O} + 3 \text{CO}_2$
Reação 10: $5 \text{Dol} + 8 \text{Qtz} + \text{H}_2\text{O} = \text{Tr} + 3 \text{Cal} + 7 \text{CO}_2$ 

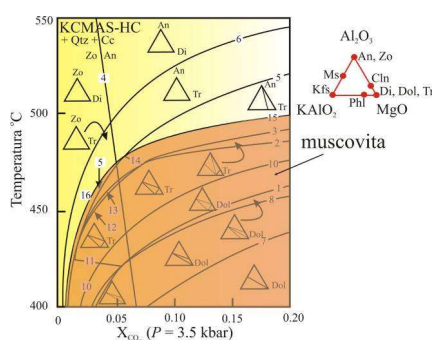
87

Reação 6: $\text{Tr} + 2 \text{Qtz} + 3 \text{Cal} = 5 \text{Di} + \text{H}_2\text{O} + 3 \text{CO}_2$ 

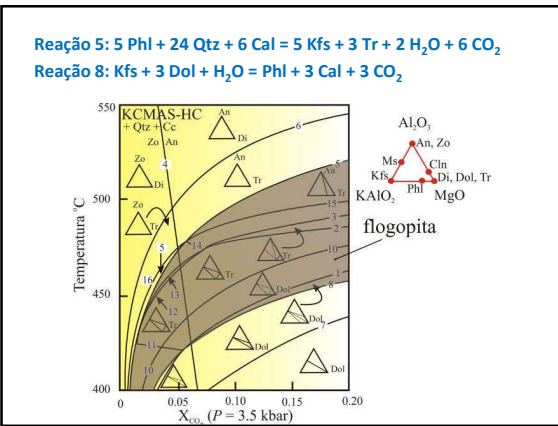
88

Reação 7: $5 \text{Dol} + \text{An} + \text{Qtz} + 4 \text{H}_2\text{O} = \text{Cln} + 6 \text{Cal} + 4 \text{CO}_2$
Reação 3: $\text{Cln} + 7 \text{Qtz} + 3 \text{Cal} = \text{Tr} + \text{An} + 3 \text{H}_2\text{O} + 3 \text{CO}_2$
Reação 13: $3 \text{Cln} + 21 \text{Qtz} + 10 \text{Cal} = 3 \text{Tr} + 2 \text{Zo} + 8 \text{H}_2\text{O} + 10 \text{CO}_2$ 

89

Reação 15: $\text{Ms} + \text{Qtz} + \text{Cal} = \text{Kfs} + \text{An} + \text{H}_2\text{O} + \text{CO}_2$ 

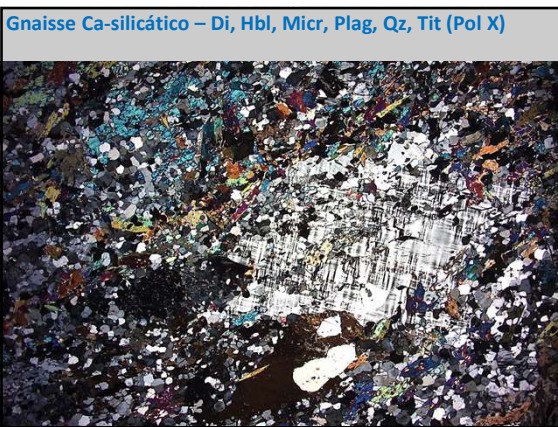
90



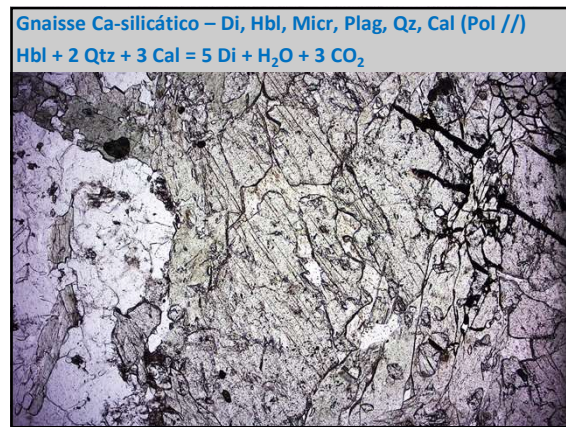
91



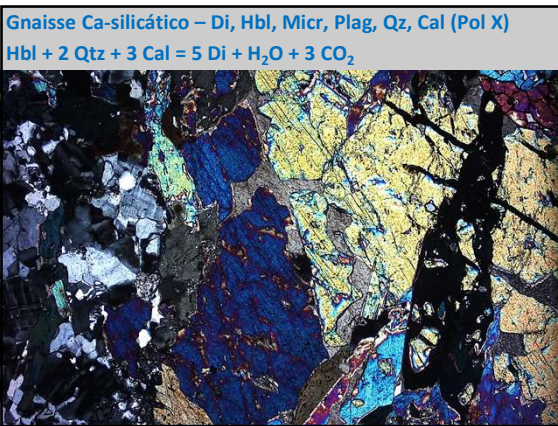
92



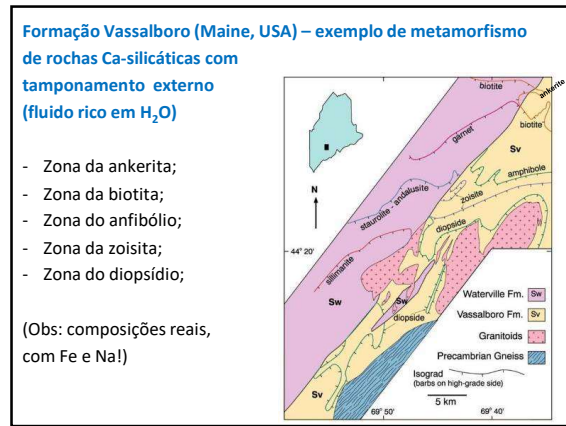
93



94



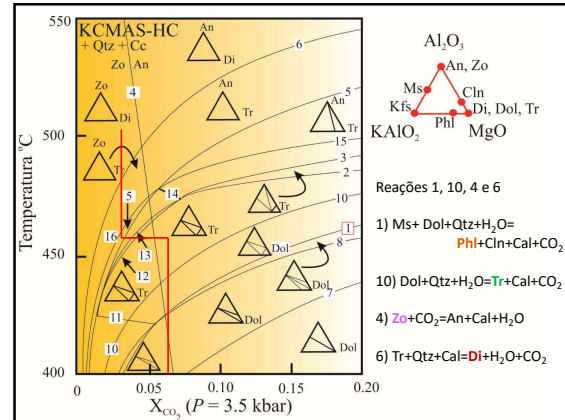
95



96

- Zona da ankerita:**
 - Ankerita, $\text{Ca}(\text{Mg},\text{Fe})(\text{CO}_3)_2 + \text{Qtz} + \text{Ab} + \text{Ms} + \text{Cc} \pm \text{Chl}$
- Zona da biotita: Bt + Chl sem Ca-Anf**
 - $\text{Ms} + \text{Qtz} + \text{Ank} + \text{H}_2\text{O} = \text{Cc} + \text{Chl} + \text{Bt} + \text{CO}_2$
 - $\text{Ms} + \text{Cc} + \text{Chl} + \text{Qtz} + \text{Ab} = \text{Bt} + \text{Ca-Pl} + \text{H}_2\text{O} + \text{CO}_2$
- Zona do anfibólio (Hbl)**
 - $\text{Ca-Anf} + \text{Pl} + \text{Qtz} + \text{Cc} + \text{Bt} + \text{Chl}$
 - $\text{Chl} + \text{Cc} + \text{Qtz} + \text{Pl} = \text{Ca-Anf} + \text{Ca-Pl} + \text{H}_2\text{O} + \text{CO}_2$
- Zona da zoisita**
 - Zo forma coroa entre Pl e Cc
 - $\text{Ca-Pl} + \text{Cc} + \text{H}_2\text{O} = \text{Zo} + \text{CO}_2$
 - $\text{Bt} + \text{Cc} + \text{Qtz} = \text{Ca-Anf} + \text{Kfs} + \text{CO}_2$
 - Kfs com Ca-Anf \approx isógrada da Sil em metapelitos
- Zona do diopsídio**
 - $\text{Di} + \text{Zo} + \text{Ca-Anf} + \text{Cc} + \text{Qtz} + \text{Pl} \pm \text{Bt} \pm \text{Kfs}$
 - $\text{Ca-Anf} + \text{Cc} + \text{Qtz} = \text{Di} + \text{H}_2\text{O} + \text{CO}_2$

97

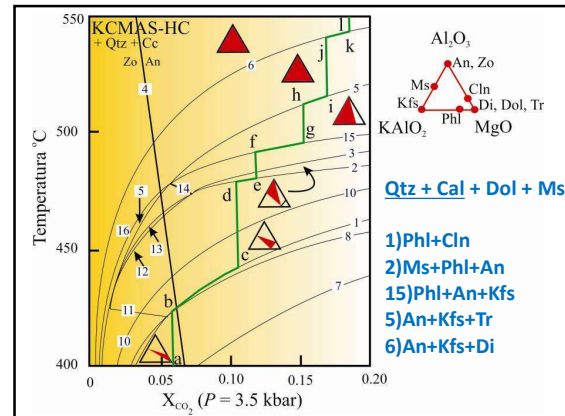


98

Modelo de metamorfismo de rochas calciosilicáticas no sistema **KCMAS-HC** com tamponamento interno da fase fluida (Bucher & Grapes 2011 – Cap. 8)

- Paragênese inicial: muscovita – dolomita – **calcita** – quartzo;
- Fluido inicial: $X_{\text{CO}_2} = 0,06$ ($= 6\%$)
- $P_{\text{lit}} = 3,5$ kbar (0,35 GPa)
- A composição da fase fluida é modificada à medida que as reações metamórficas se processam; as reações consomem H_2O e produzem CO_2 , ou produzem CO_2 em uma proporção que aumenta a fração molar deste componente na fase fluida;

99



100

Reações no sistema tamponado

- $\text{Ms} + 8\text{Dol} + 3\text{Qtz} + 4\text{H}_2\text{O} = \text{Phl} + \text{Cln} + 8\text{Cal} + 8\text{CO}_2$
- $5\text{Ms} + 3\text{Cln} + 7\text{Qtz} + 8\text{Cal} = 5\text{Phl} + 8\text{An} + 12\text{H}_2\text{O} + 8\text{CO}_2$
- $\text{Ms} + 2\text{Qtz} + \text{Cal} = \text{Kfs} + \text{An} + \text{H}_2\text{O} + \text{CO}_2$ (+ Phl)
- $5\text{Phl} + 24\text{Qtz} + 6\text{Cal} = 5\text{Kfs} + 3\text{Tr} + 2\text{H}_2\text{O} + 6\text{CO}_2$ (+ An)
- $\text{Tr} + 2\text{Qtz} + 3\text{Cal} = 5\text{Di} + \text{H}_2\text{O} + 3\text{CO}_2$ (+ An , Kfs)

101

Bibliografia

- Bucher, K.; Frey, M. – 2002 – Petrogenesis of Metamorphic Rocks (7th Ed.). Springer Verlag, Heidelberg. 341p. Cap.6 e 8
- Bucher, K.; Grapes, R. – 2011 – Petrogenesis of Metamorphic Rocks (8th Ed.). Springer Verlag, Heidelberg. 428p. Cap.6 e 8
- Candia, M.A.F.; Szabó, G.A.J.; Del Lama, E.A. – 2003 – Petrologia Metamórfica: Fundamentos para a Interpretação de Diagramas de Fase. EDUSP, São Paulo. 190 p. Cap. 8
- Szabó, G.A.J.; Andrade, F.R.D.; Guimarães, G.B.; Carvalho, F.M.S.; Moya, F.A. – 2006 – As jazidas de talco no contexto da história metamórfica do Gr. Itaiacocá, PR. Geol.USP Sér.Cient. 5(2):13-31
- Yardley, B.W. – 2004 – Introdução à Petrologia Metamórfica (2^a Ed.). Editora UnB, Brasília. 434p. Cap.5
- Aulas em Power Point do Prof. Winter (parte das ilustrações): <http://www.whitman.edu/geology/winter/Petrology/Ch%2029%20Calc%20and%20UM.ppt#273,18>, Metamorphism of Ultramafic Rocks

102